

التوصيل الحراري الشبكي للمركب CdS

بشرى حسين محمد

جامعة ذي قار / كلية العلوم - قسم الفيزياء

المستخلص:

تم حساب التوصيل الحراري الشبكي للمركب CdS في مدى درجات الحرارة (1-300) درجة حرارة مطلقة باستخدام نموذج عواد ، حيث استخدمت الدراسة صيغة التصحيح لعلاقة التشتت ودالة التوزيع غير المتزن لحساب التوصيلية . نتائج الدراسة كانت على التوافق جيد مع القيم العملية للتوصيل الحراري الشبكي ، وخصوصا عند قمة المنحنى التوصيلية . كما يدرس هذا البحث تأثير تغير معدلات الاسترخاء الفونوني المتشتت بواسطة حدود البلورة والعيوب النقطية والتشتت الفونوني الثلاثي والرباعي على التوصيل الحراري الشبكي لكلا الفونونات المستعرضة والطويلة .

Abstract:

The lattice thermal conductivity for CdS compound has been calculated over the temperature range (1-300k) , Using Awad model . As The study used the correction formula in dispersion relation and distribution function for the calculation of the conductivity . The calculations are in a good agreement with the experimental values of the lattice thermal conductivity , especially in the maximum point of the conductivity curve . This paper studies the change effects in the relaxation rates of phonon scattering by the boundaries , point defects , tri and quadrant phonon dispersion on the lattice thermal conductivity for both transverse and longitudinal phonons .

Keywords :- lattice thermal conductivity, phonon scattering , CdS.

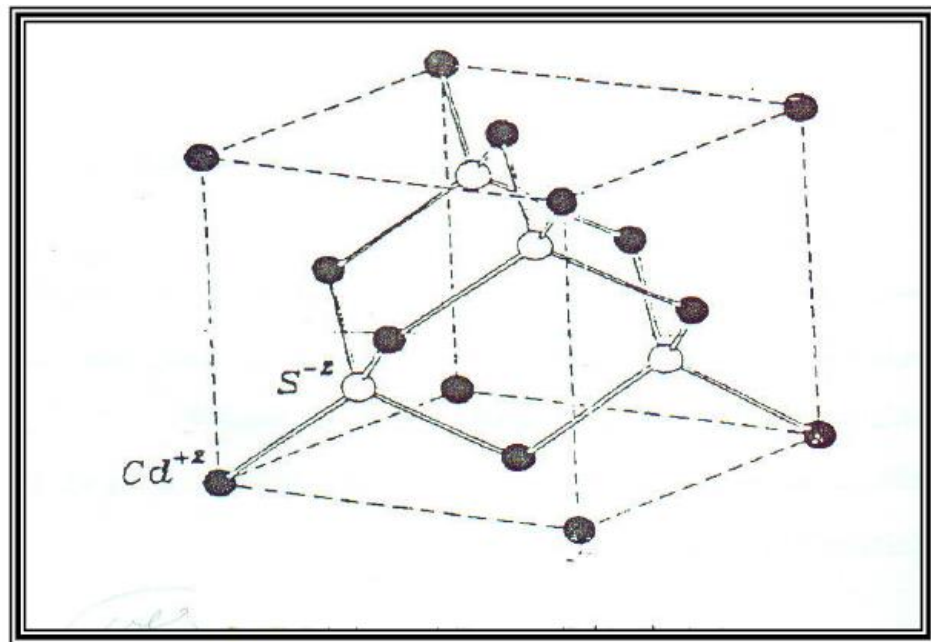
الكلمات المفتاحية : التوصيل الحراري الشبكي , التشتت الفونوني , كبريتيد الكadmيوم .

المقدمة:

أن لدراسة التوصيل الحراري للمواد الصلبة والعوامل المؤثرة عليها أهمية بالغة في الوقت الحاضر لما يشهده هذا المجال من تطور سريع في جميع المجالات وخصوصا في المجالات التي تعتبر الحرارة عنصرا أساسيا فيها . ونظرا لاكتشاف العديد من المواد الجديدة والتي غالبا ما تكون مصنعة من عدد من المركبات وتعد استعمال تلك المواد في الصناعة ، فإن دراسة التوصيل الحراري لتلك المواد وعلى مدى واسع من درجات الحرارة أصبحت ذات أهمية متزايدة لدى الباحثين ومن هذه المواد المركب CdS [1] .

وان المركب CdS هو من المواد شبه الموصلة التي تتبع المجموعة الثانية والسادسة من الجدول الدوري ، وهي مادة ذات لون اصفر براق يذوب في الماء المقطر وكتافته (4.84 gm/Cm^3) يمتلك تركيب بلوري سداسي ومكعب احيانا كما في الشكل (1) ويرتبط الكadmيوم مع الكبريت في هذا المركب باصرة تساهمية [2] . حيث ان مادة CdS حظيت باهتمام ملحوظ خلال السنوات الاخيرة ، ولها تطبيقات عديدة في تقنيات اشباه

الموصلات والتقنيات الالكترونية اذ ان اول مجال استعمل فيه هو صنع مرايا فائقة الجودة للاجهزة الفلكية والمصابيح الكاشفة نظرا لمقاومته الظرف الجوية بدرجة عالية [3] .



شكل(1): التركيب البلوري للمركب كبريتيد الكادميوم [2] .

كما تم دراسة التوصيل الحراري الشبيكي لبعض مركبات هاتين المجموعتين (ZnS , ZnTe II-VI and ZnSe) من قبل تيواري و زملائه [4] باستخدام نموذج كالاوي المعدل, حيث أخذوا بنظر الاعتبار إسهام كل من الفونونات المستعرضة و الطولية, وضمن مدى درجات حرارة يتراوح بين 2 و 300 درجة مطلقة. كما استخدمو التشتتات الفونونية بحدود البلورة و العيوب النقطية و كذلك التشتت الفونوني الثلاثي, في حين أهملوا التشتت الفونوني الرباعي. كما لم يميزوا بين العمليات الاعتيادية و الاومكلابية في التشتت الفونوني الثلاثي. كما تم دراسة التوصيل الحراري الشبيكي للمركب CdTe في مدى واسع من درجات الحرارة من قبل [5]. بينما لاحظ دور العمليات الاعتيادية و الاومكلابية في التشتت الفونوني الثلاثي, وكذلك لاحظ دور مهم للتشتت الفونوني الرباعي للمركب ZnSe عند دراسة التوصيل الحراري الشبيكي من قبل [6] . Muhamad

وضع عواد Awad [1] حديثا دراسة، اشتق فيها علاقات رياضية للتوصيل الحراري الشبيكي، تختلف عن تلك الصيغة المنسوبة إلى كالاوي Callaway [7] و شارما وزملائه[8] أخذ بنظر الاعتبار علاقة التشتت للфонونات الصوتية و دالة التوزيع غير المتزن (Nonequilibrium distribution function) للشبيكة الأحادية الذرة والثنائية . وقد بينت الدراسات الحديثة قدرة هذه العلاقات على تفسير النتائج التجريبية لمنحنيات التوصيل الحراري للعناصر والمركبات شبه الموصولة [5,6,9-10].

ان هدف هذا البحث هو يتمثل بمدى قابلية تطبيق نموذج عواد في حساب التوصيل الحراري الشبيكي للمركب (CdS) باستخدام علاقة التشتت للфонونات السمعية و دالة التوزيع غير المتزن ، كما بين البحث إسهام الفونونات المستعرضة و الطولية في التوصيل الحراري الشبيكي الكلي، و دور العمليات الاعتيادية و الاومكلابية في

التشتت الفونوني الثلاثي ، كما تطرق الى دراسة طبيعة تغير معدلات استرخاء التشتتات الفونونية مع التردد و لكلا النمطين الطولي والمستعرض بثبوت درجة الحرارة .

النظريّة :

للحصول على معادلة تكون أكثر دقة ومرنة في حساب التوصيلية الحرارية ، حيث قام عواد [1] Awad بوضع صيغ جديدة لحساب التوصيل الحراري الشبكي للشبكة الثانية الذرة وبعد واحد وثبت الشبكة a ليصل إلى العلاقة التالية:

$$K_i = \frac{MK_B^3 \theta^2}{6\pi^2 a \hbar^2 (M+m)} \int_0^{\theta_i/T} \tau \frac{\sqrt{J_\circ(1-J_\circ)} (\sin^{-1} \sqrt{J_\circ})^2}{(1-2J/M_\circ)} \frac{xe^x}{(e^x-1)^2} dx \quad (1)$$

حيث إن M تمثل كتلة الذرة الأولى ، m كتلة الذرة الثانية ، θ_i درجة حرارة حدود الحيز البريليوني و a نمط الفونونات بحيث يشير الرمز T للمستعرضة منها والرمز L للطولية.

$$J_\circ = J(M+m)(1-J/M_\circ)$$

$$J = T^2 x^2 / M \theta^2,$$

$$M_\circ = (M+m)/mM$$

كما استخدم عواد [1] دالة التوزيع غير المتزن لغرض تصحيح صيغة التوصيل الحراري الشبكي، وذلك من خلال معالجته مقدار الانحراف عن دالة التوزيع المتزن ، وعليه كانت صيغة التوصيل الحراري الشبكي كما يلي :

$$K_i = c_2 \frac{\theta_i^2}{C_{vi}} \left[I_1 + I_2 I_3 / I_4 \right], \quad (2)$$

$$c_2 = \frac{MK_B^4}{6\pi^2 a \hbar^2 (M+m)}$$

و السعة الحرارية

$$C_V$$

$$C_V = \frac{V(M+m)\hbar T}{2\pi^2 a^3 M \theta^2} \int_0^{\theta_i/T} \frac{x^3 e^x}{(e^x-1)^2} \frac{(\sin^{-1} \sqrt{J_\circ})^2 (1-2J/M_\circ)}{\sqrt{J_\circ(1-J_\circ)}} dx$$

$$I_1 = \int_0^{\theta_i/T} \left[\tau_c \frac{x^2 e^x}{(e^x-1)^2} \frac{\sqrt{J_\circ(1-J_\circ)} (\sin^{-1} \sqrt{J_\circ})^2}{(1-2J/M_\circ)} \right] dx$$

$$I_2 = \int_0^{\theta_i/T} \left[\frac{\tau_c}{\tau_N} \frac{xe^x}{(e^x - 1)^2} (\sin^{-1} \sqrt{J_\circ})^3 \right] dx ,$$

$$I_3 = \int_0^{\theta_i/T} \left[\frac{\tau_c}{\tau_N} \frac{e^x}{(e^x - 1)^2} \frac{J_\circ(1 - J_\circ)(\sin^{-1} \sqrt{J_\circ})^3}{(1 - 2J/M_\circ)^2} \right] dx$$

$$I_4 = \int_0^{\theta_i/T} \left[\frac{1}{\tau_N} \left(1 - \frac{\tau_c}{\tau_N} \right) \frac{e^x}{x(e^x - 1)^2} \frac{\sqrt{J_\circ(1 - J_\circ)} (\sin^{-1} \sqrt{J_\circ})^4}{(1 - 2J/M_\circ)} \right] dx$$

لنتصور تناهرا كرويا للحيز البريليوني ، أي أن للفونونات ثلاث حالات استقطاب اثنان منها مستعرضة وواحدة طولية Longitudinal ، وبفرض أن كل منها تساهم بشكل مستقل عن الأخرى في التوصيل الحراري الشبكي الكلي ، فان علاقة التوصيل تأخذ الصيغة التالية :

$$K = 2K_T + K_L \quad (3)$$

حيث أن

K_T : إسهام الفونونات المستعرضة في التوصيل الحراري الشبكي.

K_L : إسهام الفونونات الطولية في التوصيل الحراري الشبكي.

كما تلعب التشتتات الفونونية الثلاثية دورا رئيسيا في انخفاض قيمة التوصيل الحراري الشبكي في المواد العازلة وشبه الموصلة لمدى واسع من درجات الحرارة. وباستخدام تصنيف كوثري Guthrie للعمليات الفونونية الثلاثية، استطاع دوبي Dubey [11] تضمين صيغة معدل الاسترخاء للتشتت الفونوني الثلاثي كلا العمليتين الاعتيادية ($\tau_{3ph,U}^{-1}$) والأومكلابية ($\tau_{3ph,N}^{-1}$) ، وعليه فان معدل الاسترخاء للتشتت الفونوني المشترك للفونونات المستعرضة ($\tau_{c,T}^{-1}$) يأخذ الصيغة التالية:

$$\tau_{3ph,T}^{-1} = (B_{TN,I} + B_{TU,I} e^{-\theta/\alpha T}) \omega T^{m_{T,I}(T)} \text{ for } 0 < \omega < \omega_4 \quad (4)$$

و يكون للفونونات الطولية على الشكل التالي:

$$\tau_{3ph,L}^{-1} = (B_{LN,I} + B_{LU,I} e^{-\theta/\alpha T}) \omega^2 T^{m_{L,I}(T)} + (B_{LN,II} + B_{LU,II} e^{-\theta/\alpha T}) \omega^2 T^{m_{L,II}(T)}$$

$$\text{for } 0 < \omega < \omega_4 \quad (5)$$

لكي تكون قيمة الأس الحراري أكثر دقة و مرونة مع تغير درجات الحرارة، اقترح دوبي استخدام متوسط قيم الأس الحراري $m(T)$ المقترحة من قبل كوثري و لكلا الصنفين (I) و (II)، و عليه تكون العمليات الصنف I:

$$[m(T)]_I = x_{max} (e^{x_{max}} - 1)^{-1} + 0.5 x_{max} \quad (6)$$

و العمليات الصنف (II)

$$[m(T)]_{II} = \\ 0.5x_{max}(e^{x_{max}} - 1)^{-1}e^{0.5x_{max}} + 0.5 \quad (7)$$

إضافة إلى عمليات التشتت الفونوني الثلاثي فان هناك عمليات تشتت أخرى لا يمكن إهمال مساحتها في حساب التوصيل الحراري الشبكي مثل عمليات تشتت الفونون للحدود البلورية τ_B^{-1} [10] وعمليات تشتت الفونون عن العيوب البلورية τ_{PT}^{-1} [10] وكذلك عمليات تشتت الفونونات الرباعية τ_{4ph}^{-1} [5].

حيث :

$$\tau_B^{-1} = \nu / 1.12d = \nu / L \quad (8)$$

$$\tau_{PT}^{-1} = A\omega^4 \quad (9)$$

$$A = V_o\Gamma / 4\pi\nu^3$$

$$\frac{1}{\nu} = \frac{1}{3} \left(\frac{1}{\nu_L} + \frac{1}{\nu_T} \right) , \quad \Gamma = \sum_i f_i (1 - m_i/m)^2$$

$$\tau_{4ph}^{-1} = B_H \omega^2 T^2 \quad (10)$$

حيث أن : B_H يمثل شدة التشتتات الفونونية الرباعية . وبذلك يصبح معدل الاسترخاء للتشتت الفونوني الكلي :

$$\tau_i^{-1} = \tau_B^{-1} + \tau_{pt}^{-1} + \tau_{3ph}^{-1} + \tau_{4ph}^{-1} \quad (11)$$

المناقشة والنتائج :

لغرض التعرف على مدى قابلية تطبيق نموذج المقترن من قبل عواد [1] في حساب وتقدير نتائج العملية للتوصيل الحراري الشبكي للمركب CdS في مدى درجات الحرارة يتراوح بين او 300 درجة مطلقة لقد استخدمنا علاقة التشتت ودالة التوزيع غير المتزن المنسوبة الى Awad (معادلات 1,2) و صيغة دوبي لمعدل استرخاء التشتت الفونوني الثلاثي (المعادلات 4,5). كما تم استخدام دالة الاس الحراري $m(T)$ المقدمة من قبل Dubey (المعادلات 6,7) اما النتائج فموضحة في الشكلين (2,3) ، حيث الشكلين يشيران الى التطابق جيد بين القيم النظرية التي اعطتها الدراسة الحالية مع القيم العملية ، ويكون هذا واضح عند قمة منحنى التوصيلية وذلك لأن التشتت الفونوني بالعيوب النقطية يتحكم في الاعاقة الحرارية، هذا يتنقق مع ما توصل اليه الباحثين السابقين [5,6,9,10]. كما وجدت الدراسة الحالية ان للتشتت الفونوني الرباعي دورا مؤثرا في حساب توصيلية المركب CdS، في حين وسود وزملائه[12] لم يجدوا له أي تأثير يذكر على منحنى التوصيلية عند دراستهم لتوسيع الحراري الشبكي لهذا المركب. حيث استخدمت الدراسة قيم قوى التشتت المدرجة في الجدولين (1,2) المستحصلة نتيجة لعملية التطابق بين القيم العملية والنظرية للتوصيل الحراري الشبكي للمركب CdS ، كما تم استعانة بقيم الثوابت التالية :

$$\theta_D = 415K \quad \theta_L = 288K \quad , \quad \theta_T = 144K \quad , \quad a = 5.41A^\circ \quad \alpha = 1.5 [12]$$

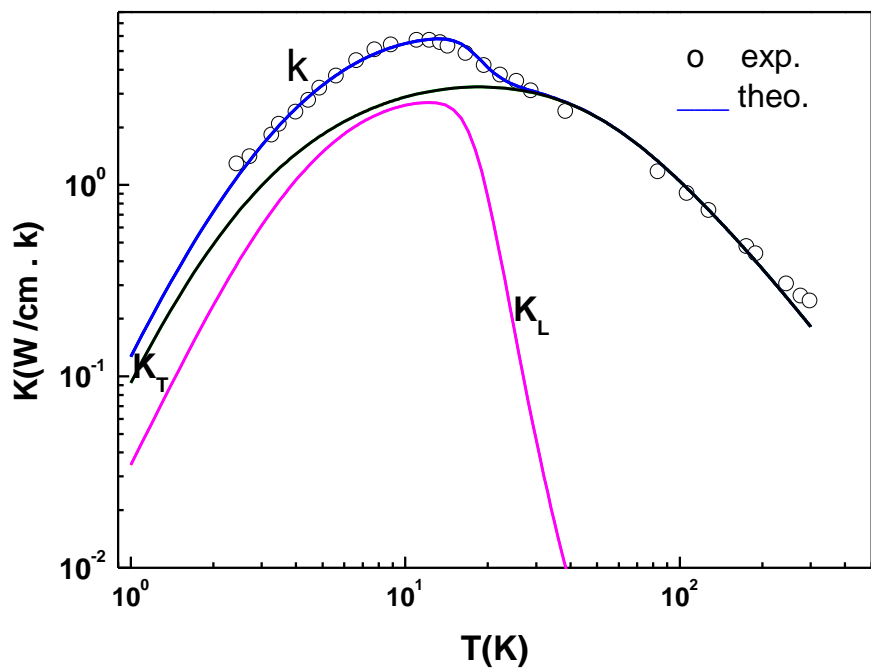
$$m_2 = 2.656 \times 10^{-23} mg \quad , \quad m_1 = 4.981 \times 10^{-23} mg [13].$$

جدول(1): قوى التشتت المستخدمة في حساب التوصيل الحراري الشبيكي للعلاقة التشتت للمركب CdS

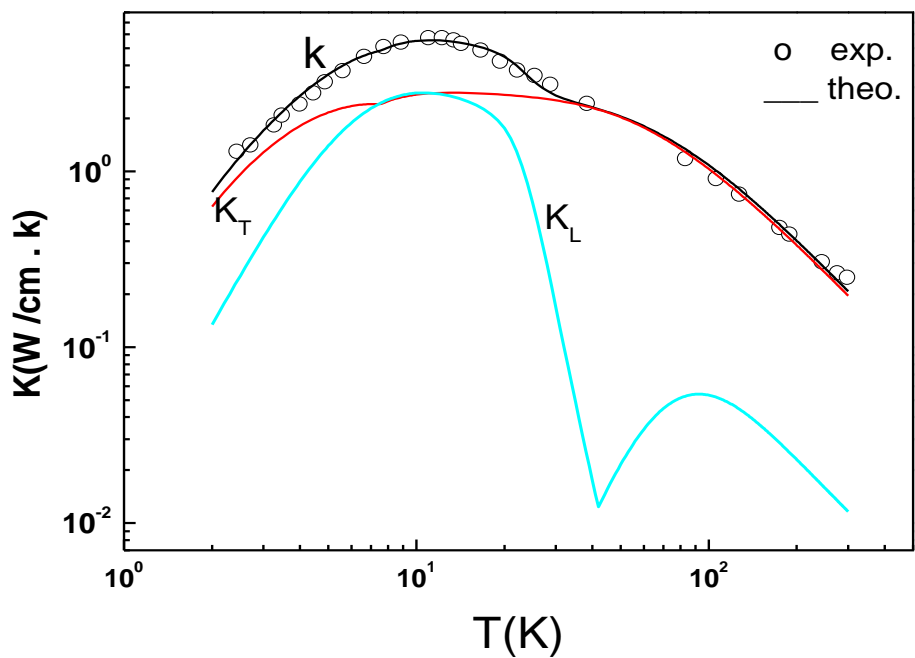
العامل	القيمة
$\tau_{BT}^{-1} (s^{-1})$	9.5×10^5
$\tau_{BL}^{-1} (s^{-1})$	3.4×10^5
$A_T s^3$	2.7×10^{-43}
$A_L s^3$	1.0×10^{-44}
$B_{TN} \text{ deg}^{-m}$	1.5×10^{-10}
$B_{TU} \text{ deg}^{-m}$	1.0×10^{-7}
$B_{LN,I} \text{ s.deg}^{-m}$	1.0×10^{-24}
$B_{LU,I} \text{ s.deg}^{-m}$	3.0×10^{-17}
$B_{LN,II} \text{ s.deg}^{-m}$	1.0×10^{-21}
$B_{LU,II} \text{ s.deg}^{-m}$	7.0×10^{-16}
$B_{HT} \text{ s.deg}^{-2}$	5.5×10^{-22}
$B_{HL} \text{ s.deg}^{-2}$	7.0×10^{-22}

الجدول(2): قوى التشتت للتوصيل الحراري الشبيكي للدالة التوزيع غير المتنز في المركب CdS.

العامل	القيمة
$\tau_{BT}^{-1} (s^{-1})$	5.9×10^5
$\tau_{BL}^{-1} (s^{-1})$	9.8×10^5
$A_T s^3$	5×10^{-44}
$A_L s^3$	4×10^{-46}
$B_{TN} \text{ deg}^{-m}$	11.0×10^{-11}
$B_{TU} \text{ deg}^{-m}$	1.25×10^{-7}
$B_{LN,I} \text{ s.deg}^{-m}$	8.5×10^{-24}
$B_{LU,I} \text{ s.deg}^{-m}$	3×10^{-19}
$B_{LN,II} \text{ s.deg}^{-m}$	2.0×10^{-21}
$B_{LU,II} \text{ s.deg}^{-m}$	6.0×10^{-19}
$B_{HT} \text{ s.deg}^{-2}$	9.0×10^{-23}
$B_{HL} \text{ s.deg}^{-2}$	1.0×10^{-21}

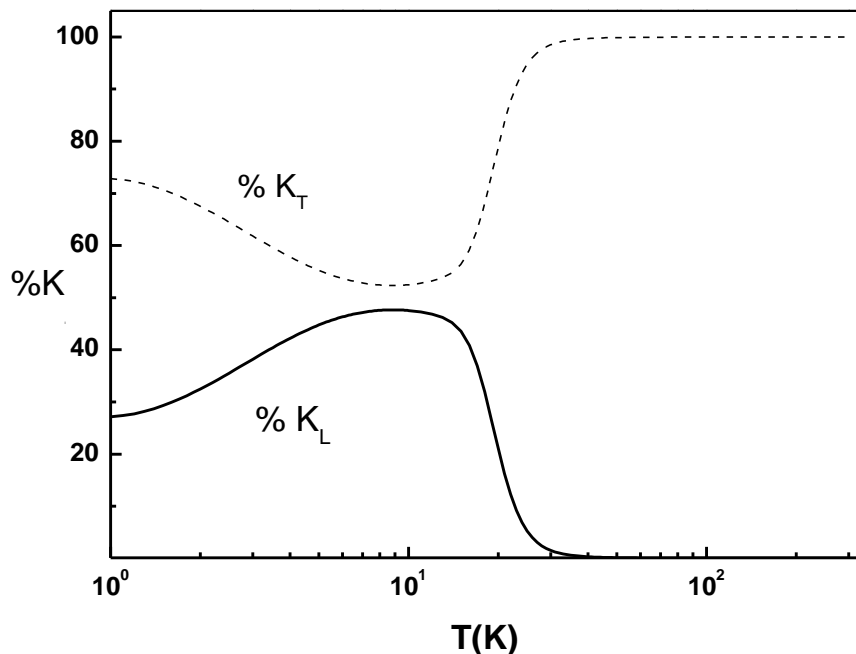


شكل (2): التوصيل الحراري الشبكي للمركب CdS ومساهمة نمطي التوصيل للفونونات المستعرضة والطويلة باستخدام علاقة التشتق .

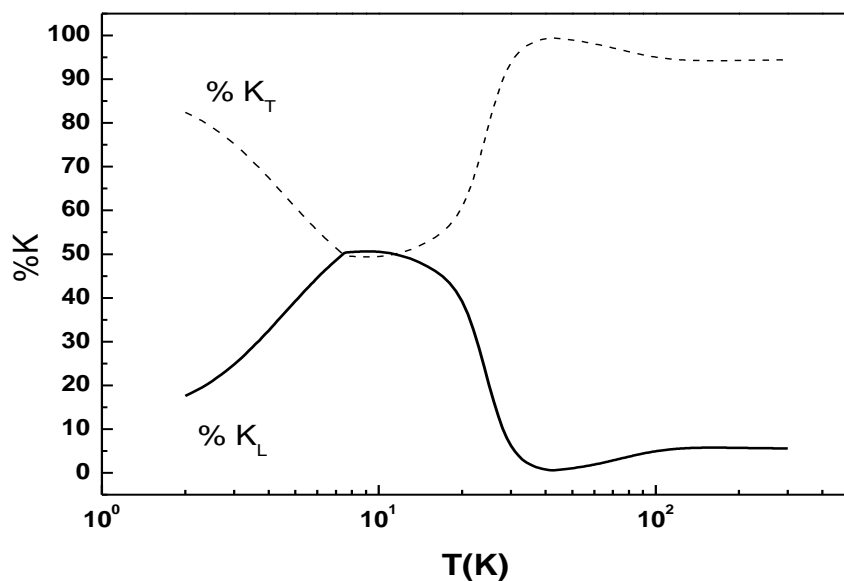


شكل (3): التوصيل الحراري الشبكي للمركب CdS ومساهمة نمطي التوصيل للفونونات المستعرضة والطويلة باستخدام دالة التوزيع غير المتزن.

اما بالنسبة للشكليين (4,5) فيشيران الى الإسهام المئوي للفونونات المستعرضة والطويلة في التوصيل الحراري الشبكي للمركب CdS حيث يلاحظ بصورة عامة ان سيادة الفونونات المستعرضة في عملية التوصيل الحراري الشبكي تصل تقريباً إلى 100% عند درجات الحرارة العالية . والعكس يصح لإسهام الفونونات الطويلة، مما يتفق مع ما توصل إليه عدد من الباحثين [1,5,14]. يعود ذلك إلى مساهمة نمطين من الفونونات المستعرضة في قيمة التوصيل الحراري مقابل نمط واحد من الفونونات الطويلة . كما يلاحظ من الشكليين ان اسهام الفونونات المستعرضة تتناقص عند القيمة القصوى لمنحي التوصيلية وخصوصاً عند ($\approx 10K$) ، ومن ثم تعود بالتزاييد عند حدود ($\approx 25K$) ، اما بالنسبة لاسهام الفونونات الطويلة فيظهر العكس . وهذا التصرف يعود الى تأثير الواضح لاسهام التشتيت الفونونات بالعيوب النقطية في قيمة الاعاقة الحرارية عند هذا المدى من درجات الحرارة ، وهذا يتفق مع الباحثين [6,10].

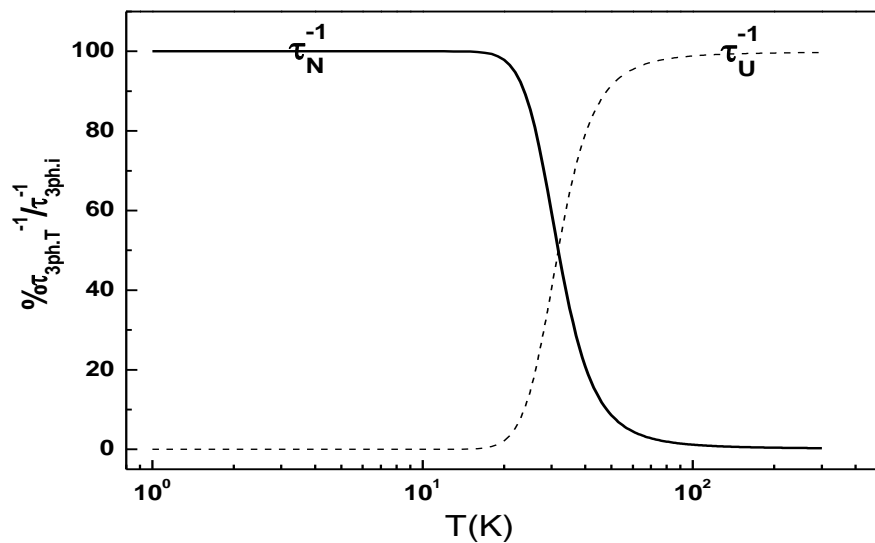


الشكل(4) : الإسهام المئوي للفونونات المستعرضة و الطويلة في التوصيل الحراري الشبكي الكلي للمركب CdS باستخدام علاقة التشتيت .

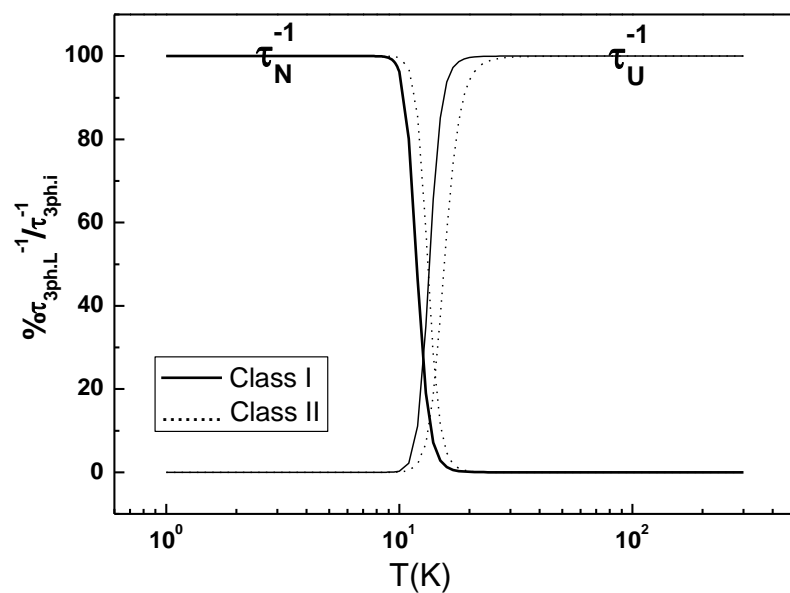


الشكل(5): الإسهام المئوي للفونونات المستعرضة و الطولية في التوصيل الحراري الشبكي للمركب CdS باستخدام دالة التوزيع غير المتزن.

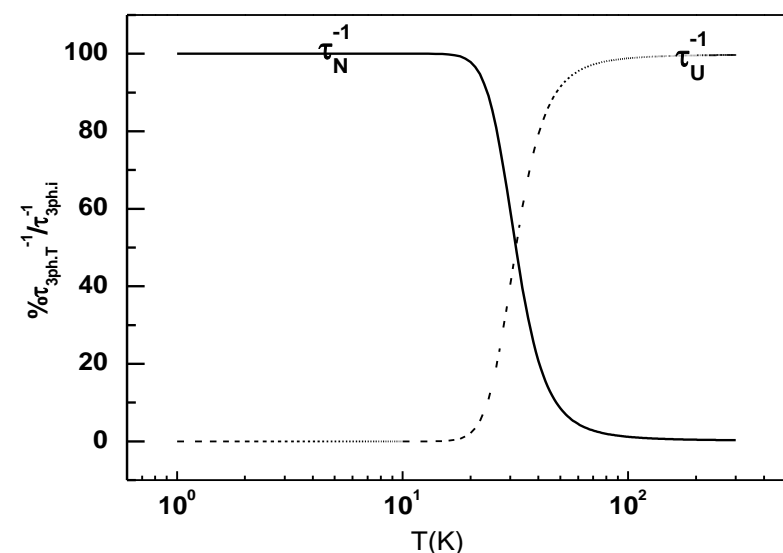
نلاحظ عند فحص منحنيات الأشكال (6,7,8,9) أن التشتت الفونوني الثلاثي في درجات الحرارة الواطئة ($T < 50K$) يتمثل بالعمليات الاعتيادية. أما في درجات الحرارة العالية فنلاحظ الهيمنة الواضحة للعمليات الاولمكلاوية، وهذا يتفق مع ما توصل إليه [6,9,14] .



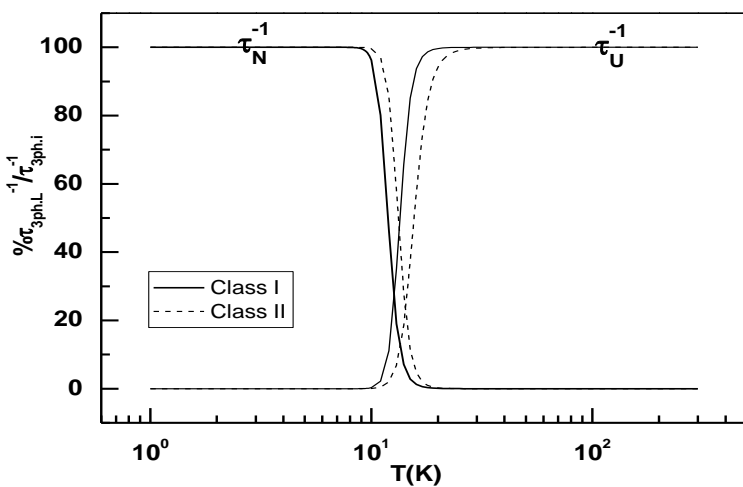
الشكل (6): الإسهام المئوي لمعدلات استرخاء التشتتات الثلاثية بالنسبة إلى معدل استرخاء التشتت الثلاثي الكلي للفونونات المستعرضة باستخدام علاقة التشتت



الشكل (7): الإسهام المئوي لمعدلات استرخاء التشتتات الثلاثية بالنسبة إلى معدل استرخاء التشتت الثلاثي الكلي للفونونات الطويلية باستخدام علاقة التشتت.

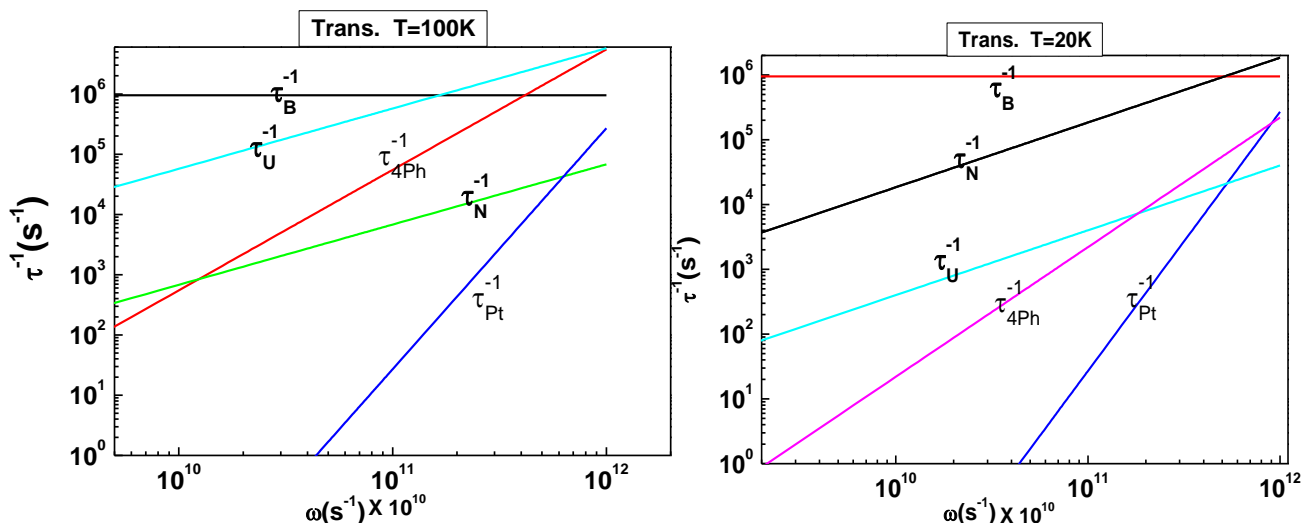


الشكل (8): الإسهام المئوي لمعدلات استرخاء التشتتات الثلاثية بالنسبة إلى معدل استرخاء التشتت الثلاثي الكلي للفونونات المستعرضة باستخدام دالة التوزيع غير المترنّز

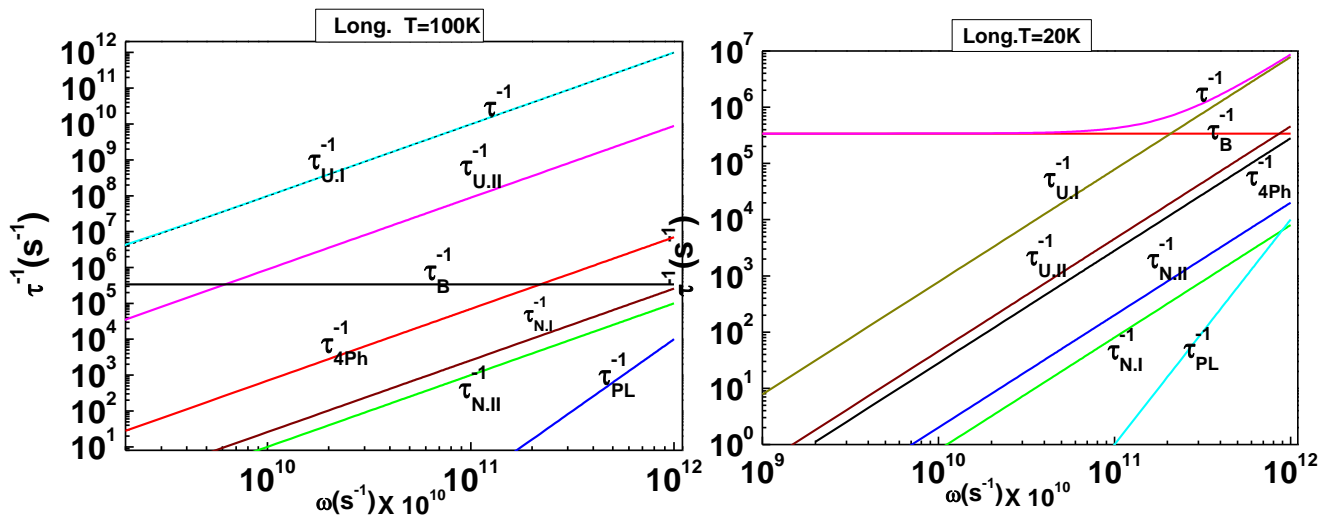


الشكل (9): الإسهام المئوي لمعدلات استرخاء التشتتات الثلاثية بالنسبة إلى معدل استرخاء التشتت الثلاثي الكلي للفونونات الطولية باستخدام دالة التوزيع غير المترن.

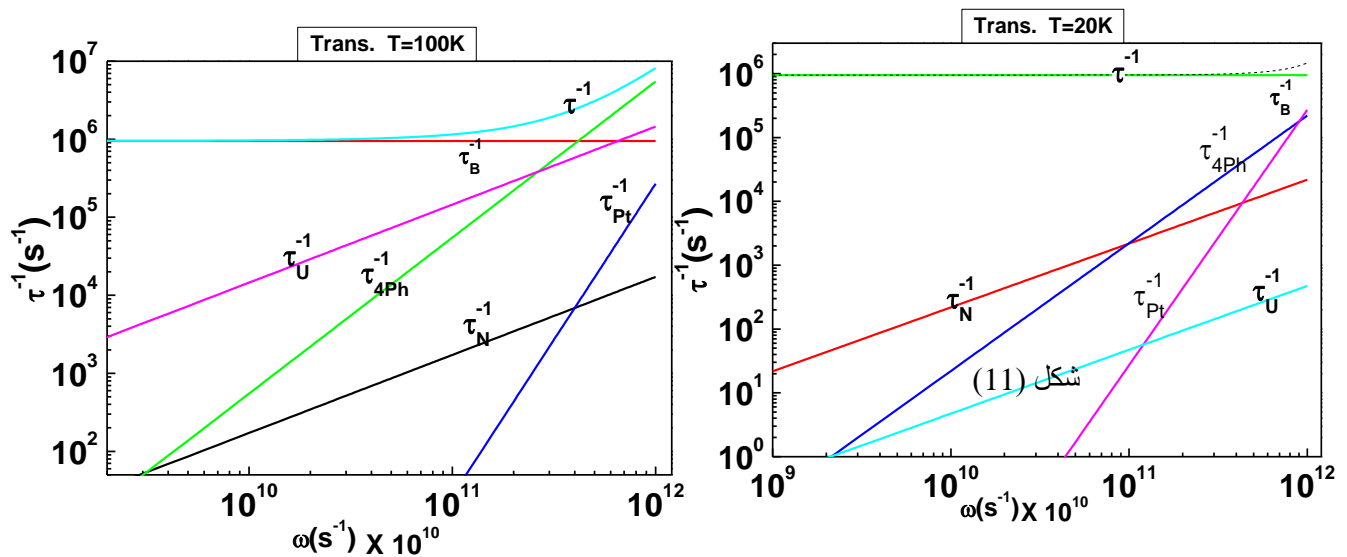
في مدى الترددات الواطئة تظاهر الأشكال (10,11,12,13) سيادة τ_B^{-1} على بقية التشتتات الأخرى لكان النمطين الطولي والمستعرض عند درجات الحرارة الواطئة (20K) والعالية (100K) وهذا يتفق مع الباحثين [6,9,15,16]. كما يلاحظ عند الترددات العالية وعند درجات الحرارة (T=20,100K) للنمطي التوصيل المستعرض والطولي وعلى التوالي هيمنة τ_{3ph}^{-1} على بقية التشتتات الأخرى ، بالنسبة للفونونات المستعرضة يلاحظ عند درجة الحرارة (20K) سيادة $\tau_{3ph,N}^{-1}$ كما في الشكل (10) بينما تظهر هيمنة τ_{4ph}^{-1} في الشكل (12) ، أما عند درجة الحرارة (100K) فنلاحظ سيادة العمليات الاموكلابية على بقية التشتتات كما في الشكلين (10,12)، وبالنسبة للفونونات الطولية وعند درجات الحرارة (20,100K) فتوضح الأشكال (11,13) سيادة العمليات الاموكلابية $\tau_{U,I}^{-1}$ على بقية المعدلات الاسترخاء الأخرى وهذا يتفق مع ما توصل إليه الباحثين [6,9, 15,17] .



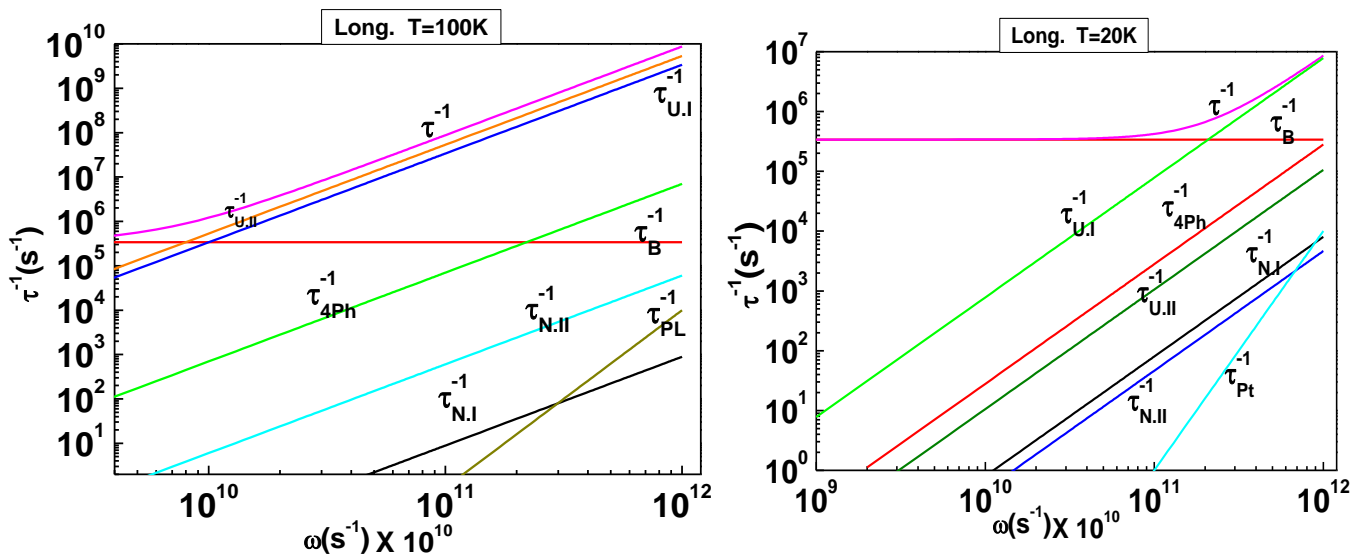
الشكل (10): معدلات استرخاء التشتتات الفونونية المختلفة كدالة للتردد في الفونونات المستعرضة بثبوت درجة الحرارة باستخدام علاقه التشتت



الشكل (11): معدلات استرخاء التشتتات الفونونية المختلفة كدالة للتردد في الفونونات الطولية بثبوت درجة الحرارة باستخدام علاقه التشتت.



الشكل (12): معدلات استرخاء التشتتات الفونونية المختلفة كدالة للتردد في الفونونات المستعرضة بثبوت درجة الحرارة باستخدام دالة التوزيع غير المتناظر



الشكل (13): معدلات استرخاء التشتتات الفونونية المختلفة دالة للتردد في الفونونات الطولية بثبوت درجة الحرارة باستخدام دالة التوزيع غير المتنز.

المصادر

1. A.H. Awad , Ph.D. Thesis, Basrah University, Basrah (Iraq) (2003).
2. S .J. Muhamad, K. H. Rzaieg, M. S. Maree,Journal of Surra Man Raa,Iraq , 3 , 7 ,2007.
3. Mona M . Saleh , Journal of Baghdad for Science ,Iraq,7(4),2010.
4. R.D. Bijalwan , P.N. Rami and M.D. Tiwarii , J. Phys. C: Solid State Phys., 16, 2537 (1983).
5. Isra'a M.Ali, Journal of College of Education ,6(554-571),2011.
6. B. H. Muhamad, M. Sc. Thesis, Basrah, University, Basrah, Iraq(2012).
7. J.Callaway, Phys.Rev. 113,1046,(1959).
8. P.C. Sharma, K.S. Dubey and G.S. Verma, Phys. Rev. B4, 1306 (1971).
9. D. B. Habesh, Journal of Basrah Researches ((Sciences))Vol. 36, No. 3, 15 June (2010).
10. Isra'a M.Ali, Journal of Basrah Researches ((Sciences)),37,5,(1817-2695),2011.
11. K.S. Dubey, J. of Thermal Analysis 19, 263 (1980).
12. K. C. Sood, M. P. Singh, and G. S. Verma, Phys. Rev. B3,2,15,1971 .

13. C. Kittel, Introduction to Solid State Physics, 7th ed. John Wiley and Sons, Inc, New York (1996).
14. A. H. Awad and K. S. Dubey, Journal of Thermal Analysis, 24 , (1982).
15. A. K. Suleiman and A. K. Faiq, J. Edu. & Sci., Vol. (23), No. (2) 2010.
16. S. M. Mamand , M. S. Omar, Advanced Materials Research, 832 (33-38) (2014)
- .
17. A.J. Mohammed, M. Sc. Thesis, Basrah University, Basrah , Iraq(2007).